

ИССЛЕДОВАНИЕ РАЗВИТИЯ ДВИЖЕНИЯ РЕАЛЬНОЙ  
ЖИДКОСТИ В ПЛОСКОМ КАНАЛЕ  
С ПОДВИЖНЫМИ СТЕНКАМИ.

Бабаджанян Г. А., Даниелян Л. Е.

Բաբաջանյան Գ. Ա., Դանիելյան Լ. Ե.

Իրական եղանակի շարժման զարգացման ուսումնասիրությունը  
շարժական պատերով հարթ խողովակում

Ներկայությունը բերվում է հայրուկ ձևով գծայնացված Խափէ-Սկորոսի հավասարումների լունակացման մասին: Օրոշված է հեղուկի հողքի արագության, ճշշման և շիման ուժի (շիման գործակիցը) փոփոխման օրենքների խողովակի երկայնական և լայնական կարգաձեռնորմ, որոնք նաևս կախված են հոսքի հիմնական և պատերի արագությունների հարաբերություններից: Օրոշվում է խողովակի նախնական կարգաձեռնորմը:

G. H. Babadjanian, L. E. Danielian

The Investigation of Development of Real Fluid Motion in a Plane Canal with Mobile Walls

Задача сводится к решению частично линеаризованной системы Навье - Стокса. С помощью интегрального преобразования Лапласа получены функциональные решения в конечном виде. Определены закономерности изменения скоростей, давления и коэффициента гидродинамического сопротивления. Определена и длина начального участка канала.

1. Изучение закономерностей движения вязкой жидкости в каналах с неподвижными и подвижными стенками имеет как теоретический так и практический интерес. Движение жидкости в каналах с подвижными стенками относится к классу малоизученных течений. Вместе с тем, такие исследования и определение законов изменений параметров таких течений имеют много технических приложений: при определении утечек жидкости через щели между неподвижными направляющими и подвижными штоками различных машин и механизмов, при изучении проблем трубопроводного транспорта грузов в контейнерах, при непрерывной обработке листовых материалов в металлургии и т. д.

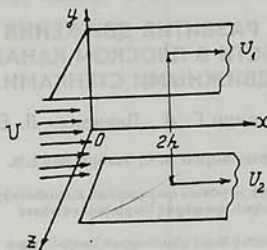
Теоретические исследования вышеуказанных задач, в основном, проводились в приближении Стокса, при котором не учитывались все инерционные члены в левых частях дифференциальных уравнений движения вязкой жидкости. Поэтому, полученные результаты описывали закономерности движения в так называемом стабилизированном участке канала, то есть на достаточном удалении от его входа.

Таким образом, невозможно было определить изменение значения параметров движения в начальном участке канала, где, естественно, имеют место специфические особенности. Последние имеют не только теоретическое, но и очень важное практическое значение. Таким образом, полученные результаты по методу Стокса не дают представления о развитии движения жидкости, что особенно важно для коротких труб.

В предлагаемой работе рассматривается задача о развитии течения жид-

кости между параллельными движущимися плоскостями, простирающимися в направлениях осей  $X$  и  $Z$  до бесконечности.

Движение стенок происходит в своих плоскостях в направлении оси  $0x$  с заданными постоянными скоростями  $U_1$  и  $U_2$ . Кроме того, имеет место и напорное течение жидкости, при котором на входе в канал формируется плоский однородный профиль скорости (фиг. 1).



Фиг. 1

За основу исходных уравнений движения принимаются приближенные уравнения, полученные из системы уравнений Навье-Стокса путем частичного учета слагаемых от ускорения и вязкости. Если предположить вязкую жидкость несжимаемой, а движение ее ламинарным, стационарным, изотермическим и плоско-параллельным, то при отсутствии массовых сил уравнения движения будут иметь вид [1].

$$\frac{\partial v_x}{\partial x} = -\frac{1}{\rho} \frac{\partial p}{\partial x} + \nu \frac{\partial^2 v_x}{\partial y^2}, \quad \frac{\partial p}{\partial y} = 0$$

$$\frac{\partial v_x}{\partial x} + \frac{\partial v_y}{\partial y} = 0 \quad (1.1)$$

где  $v_x$  - есть средняя расходная скорость основного потока по сечению в начале трубы;  $v_x$  и  $v_y$  - составляющие скорости по осям  $0x$  и  $0y$ ;  $p$  - давление;  $\rho$  - плотность;  $\nu$  - кинематический коэффициент вязкости жидкости.

Расстояние между плоскостями пусть будет  $2h$ . Если начальную координату выбрать на средней плоскости канала, то граничные условия для задачи по развитию течения будут иметь вид:

$$\begin{aligned} \text{при } x=0 \text{ и } |y| < h & \quad v_x = U = \text{const}, \quad p = p_H = \text{const} \\ \text{при } y=h \text{ и } x>0 & \quad v_x = U_1, \quad v_y = 0 \\ \text{при } y=-h \text{ и } x>0 & \quad v_x = U_2, \quad v_y = 0 \end{aligned} \quad (1.2)$$

Здесь  $p_H$  - значение давления в начале трубы.

2. Применяя функциональное преобразование Лапласа и решая уравнения

(1.1), при граничных условиях (1.2) получим

$$v_x = \frac{3U}{2} \left( 1 - \frac{y^2}{h^2} \right) + \frac{U_1 + U_2}{4} \left( \frac{3y^2}{h^2} - 1 \right) + \frac{U_1 - U_2}{2} \frac{y}{h} + \\ + (U_1 + U_2 - 2U) \sum_{n=1}^{\infty} \frac{1}{\mu_n^2} \left( 1 - \frac{\cos(\mu_n y / h)}{\cos \mu_n} \right) \exp \left( - \frac{\mu_n^2 x}{Re h} \right) + \\ + \frac{U_1 - U_2}{\pi} \sum_{n=1}^{\infty} \frac{(-1)^n \sin(\pi n / h)}{n} \exp \left( - \frac{\pi^2 n^2 x}{Re h} \right) \quad (2.1)$$

$$v_y = \frac{U_1 + U_2 - 2U}{Re} \sum_{n=1}^{\infty} \left( \frac{y}{h} - \frac{\sin(\mu_n y / h)}{\sin \mu_n} \right) \exp \left( - \frac{\mu_n^2 x}{Re h} \right) + \\ + \frac{U_2 - U_1}{Re} \sum_{n=1}^{\infty} \left[ (-1)^n \cos \frac{\pi n y}{h} - 1 \right] \exp \left( - \frac{\pi^2 n^2 x}{Re h} \right) \quad (2.2)$$

$$p = p_H + \rho U^2 \left( 1 - \frac{U_1 + U_2}{2U} \right) \left[ - \frac{3x}{Re h} - \frac{1}{5} + 2 \sum_{n=1}^{\infty} \frac{1}{\mu_n^2} \exp \left( - \frac{\mu_n^2 x}{Re h} \right) \right] \quad (2.3)$$

где  $Re = \frac{Uh}{v}$  - число Рейнольдса, а  $\mu_n$  простые корни уравнения  $Ig\mu = \mu$

Известно, что при течении вязкой жидкости в напорных трубах градиент давления зависит от средней скорости течения, параметров жидкости и трубы по следующей формуле:

$$\frac{\partial p}{\partial x} = -\xi \frac{1}{2h} \frac{\rho U_{cp}^2}{2} \quad (2.4)$$

где  $U_{cp}$  - средняя скорость течения жидкости в канале,  $\xi$  - обычный коэффициент гидравлического сопротивления. В случае неподвижных стенок коэффициент  $\xi$  обусловлен только диссиляцией механической энергии жидкости за счет работы сил внутреннего трения.

Если стени канала подвижные, то  $\xi$  зависит и от внешних по отношению к жидкости сил трения на подвижных стенах. Этот коэффициент в последнем случае может принимать любые значения (обращаться в нуль или быть даже отрицательным).

Для определения значения  $\xi$  в случае подвижных стенок при развитом течении жидкости из (2.3) найдем

$$\frac{\partial p}{\partial x} = \rho U^2 \left( - \frac{3}{Re h} - \frac{2}{Re h} \sum_{n=1}^{\infty} \exp \left( - \mu_n^2 \frac{x}{Re h} \right) \right) \left( 1 - \frac{U_1 + U_2}{2U} \right) \quad (2.5)$$

Из уравнений (2.4) и (2.5) получим:

$$\xi = \frac{4}{\text{Re}} \left( 1 - \frac{U_1 + U_2}{2U} \right) \left( 3 + 2 \sum_{n=1}^{\infty} \exp \left( -\mu_n^2 \frac{x}{\text{Re} h} \right) \right) \quad (2.6)$$

Формулы (2.1), (2.2), (2.3) и (2.6) описывают изменения значений параметров движения жидкости (скоростей, давления и коэффициент сопротивления) вдоль канала.

При исследовании развития движения жидкости в каналах важное практическое значение имеет длина начального участка потока. Для ее определения сначала найдем максимальное значение осевой скорости по высоте. Как видно, в формуле (2.1) последние два слагаемых (бесконечные суммы) быстро стремятся к нулю при удалении от входа в канал, по этой причине ради простоты вычисления их можно не учитывать. С точностью до вышесказанного приближения из (2.1) легко определить величину  $y_0$  при котором  $v_x$  принимает экстремальное значение.

$$y_0 = \frac{(U_2 - U_1)h}{3(U_1 + U_2 - 2U)} \quad (2.7)$$

Дальнейшие вычисления показывают, что при  $|U_1 + U_2| < 2U$  (2.7) дает значение  $y$ , при котором осевая скорость  $v_x$  максимальна, а при  $|U_1 + U_2| > 2U$  минимальна. Экстремальное значение скорости  $v_x$  будет

$$v_{x\text{экстр.}} = \frac{3U}{2} - \frac{(U_2 - U_1)^2}{12(U_1 + U_2 - 2U)} - \frac{U_1 + U_2}{4} \quad (2.8)$$

Составляя отношение разности экстремальной скорости частиц жидкости на бесконечном удалении от входа и скорости частиц на конечном расстоянии  $L$  от входа к экстремальной скорости, найдем

$$\begin{aligned} \frac{v_{x\text{экстр.}} - v_{L\text{экстр.}}}{v_{x\text{экстр.}}} &= \frac{12(U_1 + U_2 - 2U)}{(U_2 - U_1)^2 + 3(U_1 + U_2)(U_1 + U_2 - 2U) - 18U(U_1 + U_2 - 2U)} \times \\ &\times \left\{ (U_1 + U_2 - 2U) \sum_{n=1}^{\infty} \frac{1}{\mu_n^2} \left( 1 - \frac{\cos(\mu_n y_0 / h)}{\cos \mu_n} \right) \exp \left( -\mu_n^2 \frac{L}{\text{Re} h} \right) + \right. \\ &\left. + \frac{U_1 - U_2}{\pi} \sum_{n=1}^{\infty} \frac{(-1)^n \sin(y_0 n \pi / h)}{n} \exp \left( -\frac{n^2 \pi^2 L}{\text{Re} h} \right) \right\} \end{aligned} \quad (2.9)$$

Задавая значение левой части уравнения (2.9) и решая ее, можно получить приближенное значение длины начального участка  $L$  плоской трубы, на протяжении которого экстремальное (максимальное) значение скорости частиц будет отличаться от своего экстремального значения на заданную малую величину.

Для простоты вычисления в правой части уравнения (2.9) из первой суммы оставлено лишь первое слагаемое, а вторая сумма отброшена по вышесказанному.

казанным причинам. Полагая, например, значение левой части (2.9) равным  $0^{-2}$ , получим:

$$\frac{U_1 + U_2 - 2U}{\mu_1^2} \left( \frac{\cos(\mu_1 y_0 / h)}{\cos \mu_1} - 1 \right) \exp\left(-\mu_1^2 \frac{L}{Re h}\right) = \quad (2.10)$$

$$= 10^{-2} \frac{18U(U_1 + U_2 - 2U) - (U_2 - U_1)^2 - 3(U_1 + U_2)(U_1 + U_2 - 2U)}{12(U_1 + U_2 - 2U)}$$

Здесь  $\mu_1$  - наименьший отличный от нуля корень уравнения  $\operatorname{tg} \mu = \mu$ . Решая (2.10) относительно  $L$ , получим приближенное значение длины начального участка

$$L = \frac{Re h}{\mu_1^2} \left\{ \ln \frac{66,7(2U - U_1 - U_2)(\cos \mu_1 - \cos \mu_1 y_0)}{U \mu_1^2 \cos \mu_1} - \right. \\ \left. - \ln \left[ 1 - \frac{(U_2 - U_1)^2}{18(U_1 + U_2 - 2U)} - \frac{U_1 + U_2}{6U} \right] \right\} \quad (2.11)$$

Из (2.11) видно, что для действительного и положительного значений длины начального участка величины  $U_1$  и  $U_2$  должны подчиняться заранее заданным условиям. Поэтому, в рассмотренном общем случае понятие начального участка условно и имеет ограниченное практическое приложение. На практике часто встречаются случаи, при которых движется лишь одна стена.

Если в формулах (2.1), (2.2), (2.3) и (2.6)  $x \rightarrow \infty$ , получим значения параметров движения для стабилизированного участка канала [2].

$$v_{x\infty} = \frac{3U}{2} \left( 1 - \frac{y^2}{h^2} \right) - \frac{U_1 + U_2}{4} \left( 1 - \frac{3y^2}{h^2} \right) + \frac{U_2 - U_1}{2} \frac{y}{h} \quad (2.12)$$

$$v_{y\infty} = 0 \quad (2.13)$$

$$p_\infty = p_H - \rho U^2 \left( 1 - \frac{U_1 + U_2}{2U} \right) \left( \frac{3x}{Re h} - \frac{1}{5} \right) \quad (2.14)$$

$$\xi = \frac{12}{Re} \left( 1 - \frac{U_1 + U_2}{2U} \right) \quad (2.15)$$

Принимая в формулах (2.12) - (2.15)  $U_1 = U_2 = 0$ , будем иметь значение величин в стабилизированном участке канала в случае неподвижных стенок.

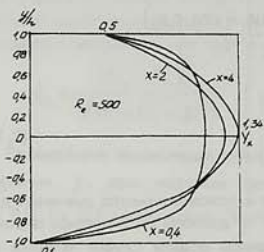
Если в полученных формулах принять  $U_2$  и одновременно  $x \rightarrow \infty$ , получим обобщенный случай движения Куэтта [3].

Рассмотрим численный пример по следующим данным:

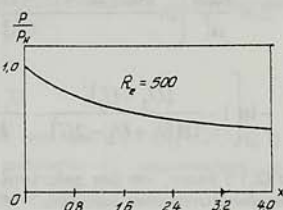
$$U = 1 \text{ м/сек} \quad U_1 = 0.5 \text{ м/сек} \quad U_2 = 0.1 \text{ м/сек} \quad h = 0.05 \text{ м}$$

$$v = 10^{-4} \text{ м}^2/\text{с}, \quad p_H = 100 \text{ кг}/\text{м}^2, \quad \rho = 102 \frac{\text{кг}}{\text{м}^3} \text{ се}^2$$

На фиг. 2 представлен закон изменения осевой скорости  $V_x$  в начальном участке по высоте и вдоль канала. Видно, что в области, близкой к начальному сечению, изменение скорости  $V_x$  по высоте происходит медленнее. Вдоль канала по течению скорость  $V_x$  увеличивается и начиная от сечения  $x = 2.4$ , принимает почти постоянные значения. Ее максимальное значение находится на высоте  $y = 0.11h$ . На фиг. 3 представлен закон изменения давления, из которого видно, что давление вдоль канала уменьшается: при этом в начальном участке уменьшение происходит быстрее, чем вблизи стабилизированного участка.

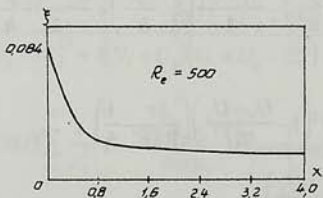


фиг. 2.



фиг. 3.

На фиг. 4 представлен закон изменения коэффициента сопротивления трения по длине канала. Видно, что его значение уменьшается вдоль канала по течению.



фиг. 4.

Для приведенного численного примера по формуле (2.11) вычислена длина начального участка, которая оказалась равной, приблизительно 4 м. Полученные формулы и приведенные графики позволяют исследовать различные случаи движения реальной жидкости в плоском канале с подвижными стенками.

#### ЛИТЕРАТУРА

- Бабаджанян Г. А., Мнацаканян Р. Ж. О развитии течения вязкой жидкости между параллельными движущимися плоскостями- Изв. АН Арм. ССР,

Механика, 1987, т. 40, № 3, с. 49-53.

2. Слезкин Н. Н. Динамика вязкой несжимаемой жидкости- М.: Гостехтеориздат, 1955.
3. Шлихтинг Г. Теория пограничного слоя- М.: Изд. иностр. литер., 1956.

Ереванский государственный университет

Поступила в редакцию

8. 06. 1994

## ԿԱՍՈՂՆՆԵՐԻ ՇԵՂԱՆԱԿՆԵՐԻ ԴԱՄԱՐ

1. Հայաստանի ԳԱԱ գիտելիքագրի «Մեխանիկա» սերիայից և ներկայացվող հոդվածներին կցվում է պապարության բոլոր վայրերուն այս հիմնարկից, որին կազմարկած է աշխատանքը:

2. Նոդվածները ներկայացվում են հայերեն, անգլերեն կամ ռուսերեն, երկու օրինակից, հնարավորին չափ սեղմ, պարզ շարադրված:

3. Բանաձեւերն ու նշանակումները գրվում են պարզ ու որոշակի, ըստ որում մեծագույնը ցայլուն կերպով պետք է պարբերվեն փոքրագույներից:

Եթե մեծագույնը և փոքրագույնը նման են իրենց գծագրությամբ, մեծագույնը ընդգծվում են երկու գծիկով, իսկ փոքրագույնը երկու գծիկով նշվում են վերափու: Օրինակ՝ V և v, O և o, K և k, U և u, S և s եւ այլն: Պետք է հարուկ գարբերակել O-ն, o-ն եւ 0-ն (զրո), որի համար 0-ն (զրո) պետք է ընդգծել ներքեւից բառակիսի փակագծով (մարդիկով):

Անհրաժեշտ է խնամքով գրել իրար նման բառերը **g** եւ **q**, **I** եւ **e**, **I**, **J** **Y**, **u** եւ **n** եւ այլն:

Տունաբերն փառեն ընդգծել կարմիր մագիստրով:

Իներքսն ու ասդիճանացուցը պետք է սեւ մարդիկով նշել աղեղով՝ համապատասխանաբար  $\cap$  կամ

$\cup$  օրինակ՝  $N^{\downarrow}$ .

Մաթեմատիկական նշանակումները (*sin*, *arcsin*, *ln*, *lg*, *lim*, *const* եւ այլն) ընդգծել եղրիդնական ուղիղ փակագծով:

4. Գրականությունը, ընդհանուր ցուցակով, կցվում է հոդվածի վերջում: Ընդ որում, վվայները նշվում են հերենյա հաջորդականությամբ, եթե գիրք է հեղինակի ազգանունը, անվան, հայրանվան սկրինարանը, աշխարհագրական վերանայութը, ամսագրի անունը, հրապարակման վարերիվը, հայուրը, պատկը, եջըրը:

Տերմոպն հղումները նշվում են բառակիսի փակագծերի մեջ առևկած թվերով:

5. Գծագրերը կցվում են առանձին թերթերով: Նկարների փողերը նշվում են ձախ լուսանցքում «նկ ...» նշումով:

## ПРАВИЛА ДЛЯ АВТОРОВ

1. Статьи, представляемые в «Известия НАН Армении, Механика», должны сопровождаться разрешением на опубликование от учреждения, в котором выполнена работа.

2. Статьи представляются на армянском, английском или русском языках в двух экземплярах в возможно сжатой и ясно изложенной форме.

3. Формулы и все обозначения вписываются четко и ясно, при этом должно быть отчетливое различие между заглавными и строчными буквами.

В тех случаях, когда заглавные и строчные буквы одинаковы по начертанию необходимо заглавные буквы подчеркнуть снизу двумя черточками, а строчные отметить двумя черточками сверху, например: V и v, O и o, K и k, U и u, S и s и т. д. Следует также делать различие между O, o и 0 (нулем), для чего 0 (нуль) следует подчеркнуть снизу квадратной скобкой (карандашом).

Необходимо тщательно вписывать похожие друг на друга буквы, например **g** и **q**, **I** и **e**, **I**, **J** **Y**, **u** и **n** и др. Греческие буквы подчеркивать красным карандашом.

Индексы и показатели следует отметить черным карандашом соответственно дугой  $\cap$  или  $\cup$ , например:  $N^{\downarrow}$ .

Математические обозначения, например: *sin*, *arcsin*, *ln*, *lg*, *lim*, *const* и т. д. надо подчеркивать горизонтальной прямой скобкой.

6. Литература приводится общим списком в конце статьи, при этом в нижеследующей последовательности указываются: для книги - фамилия и инициалы автора, полное название книги, номер тома, место издания, издательство, год издания, страницы; для журнала - фамилия и инициалы автора, наименование работы, название журнала, год издания, том (подчеркнуть) и выпуск. Ссылка на литературу в тексте дается цифрой в квадратных скобках.

7. Чертежи прилагаются на отдельных листах. Места иллюстраций указываются на левом поле страницы отметкой «фиг...»